

점 집합을 두 개의 부채꼴로 포함하는 알고리즘 개발

(Algorithms for Covering a Point Set with Two Wedges)

김성권[†] 김순석^{**} 신찬수^{***} 여상수^{**}

(Sung-Kwon Kim) (Soon-Seok Kim) (Chan-Su Shin) (Sang-Soo Yeo)

요약 평면상의 n 개의 점으로 구성된 집합 S 가 있을 때, 같은 각의 두 (무한) 부채꼴을 이용하여 S 의 점들을 모두 포함하는 문제를 본 논문에서 다루고자 한다. 즉, $S \subset W_1 \cup W_2$ 를 만족하는 각이 최소인 두 부채꼴 W_1 과 W_2 를 구하고자 한다. 부채꼴의 정점은 반드시 S 의 점에만 놓는다. 두 부채꼴의 배치에 따라서 여러 가지 경우로 나눌 수 있는데 각 경우에 효율적인 알고리즘을 제시한다.

Abstract In this paper we investigate the problem of covering a set S of n points in the plane with two equi-angular (infinite) wedges. In other words, we want to find two wedges W_1 and W_2 of minimum angle such that $S \subset W_1 \cup W_2$. Apexes of wedges should be at points of S . Depending on how the wedges are placed we have several cases of the problem and for each of them an efficient algorithm is given.

1. 서론

A 를 평면에 있는 n 개의 점으로 구성된 집합이라 하자. A 에 대한 표준 2-중심문제는 A 의 점을 모두 포함 하면서 지름이 되도록 작은 동일한 두 원을 찾는 것이다. Sharir가 $O(n \log^3 n)$ 시간 알고리즘을 만든 후 [11], Eppstein이 $O(n \log^2 n)$ expected 시간을 가지는 알고리즘을 제시하였다 [8]. 찾고자하는 두원의 중심이 A 에 속하는 점들에 위치하도록 제한을 하면 좀 더 어려운 문제가 되는데 이를 이산 2-중심문제라 부른다. 이는 Agarwal 등에 의해서 $O(n^{4/3} \log^5 n)$ 시간에 풀렸다 [7].

만약 두 원 대신에 두 정사각형으로 A 의 점들을 모두 포함하려고 하면, 문제가 훨씬 복잡해지며, 정사각형 표준 (이산) 2-중심 문제가 된다. 두 정사각형이 서로

평행하다는 조건에서 표준 2-중심문제는 $O(n^2)$ 에 풀렸다 [9]. 최근에 Katz 등은 이산 2-중심문제에 대해서 연구를 했는데 [10], 두 정사각형이 서로 평행한 경우는 $O(n^2 \log^4)$ 시간에, 두 정사각형이 마음대로인 경우에는 $O(n^3 \log^2 n)$ 시간에 해결할 수 있음을 보였다.

본 논문에서는 앞의 문제들에 이어서 두 개의 부채꼴을 이용하여 모든 점들을 포함하는 문제를 다루고 이를 해결하는 알고리즘을 제시하고자 한다. 평면상의 한 점에서 출발하는 두 개의 반직선에 의해서 평면은 두 무한 영역으로 나누어진다. 두 영역 중에서 두 반직선이 이루는 각이 작은 쪽의 영역을 그 점과 그 두 반직선에 의해서 결정되는 무한 부채꼴 또는 간단히 부채꼴 (wedge)이라 한다. 그 점은 부채꼴의 정점 (apex)이라 부르고, 두 반직선을 그 부채꼴의 경계라 부른다. 또한, 각을 부채꼴의 각 또는 크기라 부른다. 본 논문에서는 부채꼴의 각이 180도 보다 작은 것만 고려한다. 두 반직선을 구별하기 위해서 각각 오른쪽 경계 (반직선), 왼쪽 경계 (반직선)라 부른다. 편의상 부채꼴은 오른쪽 경계에서 반시계 방향으로 돌아서 왼쪽 경계에 이르는 영역을 지칭하기로 하며, 부채꼴은 경계를 포함한다. 부채꼴을 평행 이동하여, 평면의 원점 (0,0)과 정점을 일치시킨 후, 양의 x -축에서 반시계 방향으로 부채꼴의 오른쪽 경계에 이르는 각을 부채꼴의 기울기라 한다.

· 이 논문은 한국학술진흥재단 (선도연구자지원 2000-041-E00300) 지원을 받았다.

† 통신위원 : 중앙대학교 컴퓨터공학과 교수
skkim@cau.ac.kr

** 비회원 : 중앙대학교 컴퓨터공학과
sskim@alg.cse.cau.ac.kr
ssyeo@alg.cse.cau.ac.kr

*** 정회원 : 한국과학기술원 전산학과 BK21 연구교수
cssin@jupiter.kaist.ac.kr

논문접수 : 2001년 1월 31일

심사완료 : 2001년 5월 4일

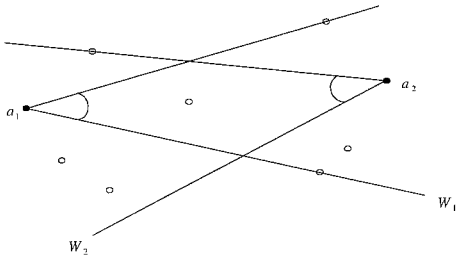


그림 1

두 부채꼴의 기울기가 같거나 기울기의 차이가 180도인 경우에 두 부채꼴은 **평행**하다고 말한다. 평면상의 n 개의 점으로 구성된 집합 S 가 있을 때, 같은 크기의 두 부채꼴을 이용하여 S 의 점들을 모두 포함하는 문제를 본 논문에서 다루고자 한다. 즉, $S \subset W_1 \cup W_2$ 를 만족하는 크기가 최소이면서 동일한 두 부채꼴 W_1 과 W_2 를 구하고자 한다. 이 경우, 두 부채꼴의 정점의 위치와 기울기, 그리고 각을 구하면 된다. 이런 부채꼴을 **최적 부채꼴**이라 부른다. 부채꼴의 정점을 어느 곳에 위치시키느냐에 따라서 두 종류의 문제를 생각할 수 있다. 먼저, 부채꼴의 정점이 반드시 S 의 점에만 오도록 한정할 경우인데, 이를 **이산적(discrete)** 부채꼴이라 한다. 그림 1에 이산적 부채꼴의 예가 있다. 다른 하나는 부채꼴의 정점이 S 의 볼록 껍질(convex hull) 내의 어느 곳에 위치하더라도 상관없는 경우인데, 이를 **연속적(continuous)** 부채꼴이라 한다. 연속적 부채꼴인 경우, S 의 볼록껍질은 볼록 다각형이므로, 부채꼴의 정점이 이 다각형내의 어느 점이더라도(꼭 S 의 점이 아니더라도) 상관없다. 본 논문에서는 이산적 부채꼴에 대한 것만 다루기로 한다. 부채꼴의 각이 180도이면 이것은 반평면에 해당하고, 두 개의

반평면으로는 어떤 S 라도 포함할 수 있으므로, 부채꼴의 크기를 앞에서 언급했듯이 180도 미만으로 제한한다.

본 논문의 결과는 다음 표 1에 요약되어 있다. 두 부채꼴이 평행인가 아닌가에 따라 크게 두 경우로 먼저 구별한다. 두 부채꼴이 평행인 경우는 기울기가 같은가, 아니면 기울기의 차이가 180도인가로 나눌 수 있다. 두 부채꼴이 평행이 아니고 마음대로인 경우는 부채꼴의 정점이 다른 부채꼴에 포함되느냐에 따라서 네 가지로 구분한다. 표에 있듯이 모두 일곱 경우로 나눌 수 있는데, 각 경우마다 사용하는 기하학적 성질과 알고리즘 기법이 다르므로 일곱 경우를 2절부터 8절까지 하나씩 설명한다.

표기법: 부채꼴을 그 정점을 중심으로 180도 회전하면 같은 크기의 부채꼴이 생기는데 이들은 서로 **맞꼭지 부채꼴**이 된다. 앞으로 특별한 언급이 없으면, W_1 과 W_2 는 두 최적 부채꼴을 나타내고, 그들의 정점은 a_1, a_2 로 나타낸다. 부채꼴이 **겹치지 않는다**는 것은 두 부채꼴의 내부가 겹치지 않는다는 것을 의미한다. 즉, 두 부채꼴의 경계는 접해도 괜찮다.

2. 두 부채꼴의 기울기가 같은 경우

기울기가 같은 두 부채꼴로 S 를 모두 포함하고자 한다. 이 경우는 두 최적 부채꼴이 같은 방향을 향하고 있으므로, 꼭 겹치게 되며, 정점 a_1, a_2 가 있을 수 있는 위치가 특수하다. S 의 볼록껍질을 $CH(S)$ 라 하자.

소정리 1: 선분 (a_1, a_2) 는 $CH(S)$ 의 한 에지가 된다.

증명: a_1 과 a_2 를 잇는 직선에 의해서 평면이 두 개의 반평면으로 나뉜다. 둘 중에서 W_1 이 없는 쪽 반평면을 H 라 한다. 그러면 $H \cap S$ 는 공집합이어야 한다. 그렇지 않으면 이 점들은 W_2 에 포함되어야 하는데, 그러면 두 부채꼴의 기울기가 같다는 가정을 위반하게 된다. H

표 1

두 부채꼴의 배치 모양		수행 시간	본 논문의 절	
두 부채꼴이 평행한 경우	둘의 기울기가 같은 경우	$O(n^2)$	2절	
	기울기의 차이가 180도인 경우	둘이 겹치지 않는 경우	$O(n^2)$	3절
		둘이 겹치는 경우	$O(n^2 \log^3 n)$	4절
두 부채꼴의 기울기가 마음대로인 경우	둘이 겹치지 않는 경우		$O(n^2 \log n)$	5절
	둘이 겹치는 경우	두 정점 모두 상대방 부채꼴 밖에 있는 경우	$O(n^2 \log n)$	6절
		한 정점은 상대방 밖에 있고 다른 점은 상대방 안에 있는 경우	$O(n^2 \log^2 n)$	7절
두 정점이 모두 상대방 안에 있는 경우		$O(n^3 \log n)$	8절	

$\cap S$ 가 공집합이므로 a_1 은 $CH(S)$ 의 꼭지점이어야 한다. 비슷하게, a_2 도 $CH(S)$ 의 꼭지점이다. 또, $H \cap S$ 가 공집합이므로 (a_1, a_2) 는 $CH(S)$ 의 에지가 된다. \square

위 사실을 이용하여 알고리즘을 만든다. $CH(S)$ 의 모든 꼭지점은 반시계 방향으로 소트되어 있다고 가정한다. 한 에지의 양끝점을 (b_1, b_2) 라 하고 부채꼴 W_1 의 정점은 b_1 에 W_2 의 정점은 b_2 에 둘 경우에 두 부채꼴의 크기를 계산해 본다. 반시계 방향으로 할 때, b_1 앞에 나오는 $CH(S)$ 의 꼭지점을 b_0, b_2 뒤에 나오는 꼭지점을 b_3 라 하자. 먼저 W_1 의 왼쪽 경계를 에지 (b_0, b_1) 에 일치시킨다. 당연히 W_2 의 왼쪽 경계는 b_2 를 지나면서 (b_0, b_1) 에 평행하게 정해진다. W_2 의 오른쪽 경계는 b_2, b_3 와 일치하게 그린다. 이제 W_1 의 오른쪽 경계를 정하는데, $S-W_2$ 의 점 중에서 W_1 의 왼쪽 경계에서 반시계방향으로 각이 가장 큰 점과 b_1 을 지나는 직선에 의해서 정해진다. 이 직선은 S 의 모든 점을 고려하면 되므로 $O(n)$ 에 가능하다. 이제 W_1 과 W_2 의 각 중에서 큰 것이 에지 (b_1, b_2) 의 양끝점에 정점을 둘 경우의 두 부채꼴의 최적 크기가 된다. 이 작업을 $CH(S)$ 의 모든 에지에 대해서 수행하면 되므로, 전체 수행시간은 $O(n^2)$ 이 된다.

정리 1: 점 집합 S 를 포함하는 기울기가 같은 두 최적 부채꼴을 $O(n^2)$ 시간에 구할 수 있다.

3. 두 부채꼴의 기울기가 180도 차이로 들이 겹치지 않는 경우

W_1 과 W_2 는 기울기가 180도 차가 나고 들은 겹치지 않는다. 앞 서론에서 언급했듯이 겹치지 않는다는 것은 들의 내부가 겹치지 않는다는 의미이다. 들의 경계는 서로 접할 수 있다.

소정리 2: a_1, a_2 둘 다 $CH(S)$ 의 꼭지점이어야 한다.

증명: W_1, W_2 의 맞꼭지 부채꼴을 W_1', W_2' 이라 하자. W_1 의 두 반직선을 확장하여 직선으로 만들면 이 두 직선에 의해서 평면이 네 개의 부채꼴로 나뉜다. 이들을 W_1 에서 시작하여 반시계 방향으로 W_1, W, W_1', W' 이라 부르자. $W_1' \cap S, W_2' \cap S$ 가 공집합이냐 아니냐에 따라 경우를 구분한다.

(1) $W_1' \cap S, W_2' \cap S$ 둘 다 공집합이 아닌 경우.

(1-1) $a_2 \in W_1'$ 인 경우.

a_1 과 a_2 를 잇는 직선이 수평이라 가정하고 W_1 이 W_2 의 왼쪽에 있다고 가정하자. $CH(S)$ 의 에지 중에서 $W_1 \cup W_2$ 에 완전히 포함되지 않는 에지가 두 개 존재한다. 둘다 $CH(S) \cap W_1$ 과 $CH(S) \cap W_2$ 를 연결하는 다리(bridge)인데, 위쪽 다리가 닿는 $CH(S) \cap W_1$ 쪽의 꼭지점을 p_2 라 하고 아래쪽 다리가 닿는 $CH(S) \cap W_2$ 쪽의

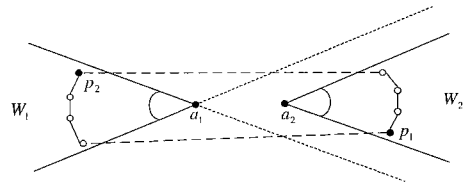


그림 2-1

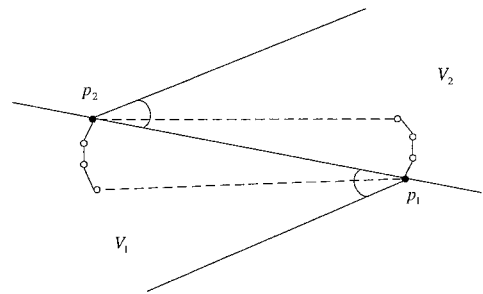


그림 2-2

꼭지점을 p_1 이라 하자. 그림 2-1 참조.

이제 W_1 을 그대로 평행 이동하여 정점을 p_1 에 일치시켜 생긴 부채꼴을 V_1 이라 부르고, W_2 을 그대로 평행 이동하여 정점을 p_2 에 일치시켜 생긴 부채꼴을 V_2 라 부르자. $V_1 \cup V_2$ 역시 S 전체를 포함한다. 그러나 V_1 과 V_2 는 서로 내부가 겹친다. p_1 과 p_2 를 잇는 직선을 l 이라 하자. V_1 을 그 정점을 중심으로 반시계방향으로 돌려서 오른쪽 경계가 l 에 일치하도록 하고, V_2 을 그 정점을 중심으로 반시계방향으로 돌려서 오른쪽 경계가 l 에 일치하도록 한다. 그림 2-2 참조. 이제 $V_1 \cup V_2$ 은 S 를 모두 포함하고, 서로 겹치지 않으며 기울기의 차가 180도이다. 또한 크기는 W_1 과 W_2 와 같으며, p_1, p_2 모두 $CH(S)$ 의 꼭지점들이다.

(1-2) $a_2 \in W'$ 인 경우.

W_1 의 왼쪽 경계와 평행하게 $CH(S) \cap W_2$ 에 두 접선을 긋고, 둘 중 W_1 을 교차하지 않는 접선의 접점을 p_1 이라 한다. 비슷하게 $CH(S) \cap W_1$ 에 접선을 긋고 W_2 를 교차하지 않는 접선의 접점을 p_2 라 한다. W_1, W_2 를 평행 이동하여 정점을 각각 p_1, p_2 에 일치시킨 부채꼴을 V_1, V_2 라 하자. 이제 V_1, V_2 각각을 반시계방향으로 돌려서 각각의 오른쪽 경계가 p_1 과 p_2 를 잇는 직선 l 에 일치하도록 한다. 그러면, V_1, V_2 모두 우리가 원하는 조건을 만족하고 있다. 그림 3 참조.

(1-3) $a_2 \in W$ 인 경우.

(1-2)와 대칭인 경우이므로 대칭적으로 증명 가능하다.

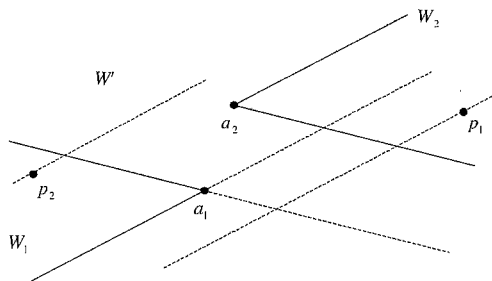


그림 3

(2) $W_1' \cap S \neq \emptyset, W_2' \cap S \neq \emptyset$ 인 경우.

이 경우는 W_1 만 새 정점 p_1 으로 평행 이동하면 되는데, p_1 은 (1)의 경우처럼 찾을 수 있다. a_2 와 p_1 을 잇는 직선이 l 이 된다.

(3) $W_1' \cap S \neq \emptyset, W_2' \cap S = \emptyset$ 인 경우.

이 경우는 W_2 만 새 정점 p_2 로 평행 이동하면 되는데, p_2 는 (1)의 경우처럼 찾을 수 있다. a_1 와 p_2 를 잇는 직선이 l 이 된다. □

W_1 의 정점이 $CH(S)$ 의 한 꼭지점 b_1 에 있는 경우를 생각하자. 정점이 $CH(S)$ 의 꼭지점에 있으므로 부채꼴의 한 경계를 b_1 에 붙어 있는 에지와 일치시켜도 상관없다. b_1 에서 반시계 방향으로 다음에 오는 꼭지점을 b_2 라 하자. 그리고 W_1 의 오른쪽 경계가 에지 (b_1, b_2) 에 일치한다고 가정하자. 이 경우 W_2 의 정점은 당연히 (b_1, b_2) 에 평행한 직선이 $CH(S)$ 에 접하는 점 b 에 와야 하고, W_2 의 오른쪽 경계는 (b_1, b_2) 와 평행해야 한다. 이제 두 부채꼴의 왼쪽 경계들을 정해야 하는데, b 와 b_1 을 잇는 직선을 k 라 한다. k 를 b_1 을 중심으로 시계방향으로 돌려서 처음 만나는 S 의 점을 구하고 이때 W_1 의 오른쪽 경계와 이루는 각을 θ_1 이라 한다. 비슷하게 k 를 b 를 중심으로 시계방향으로 돌려서 처음 만나는 S 의 점을 구하고 이때 W_2 의 오른쪽 경계와 이루는 각을 θ_2 라 한다. 그러면 $\max(\theta_1, \theta_2)$ 가 W_1 의 정점을 b_1 에 두고 그 오른쪽 경계를 (b_1, b_2) 에 일치시켰을 때의 부채꼴의 각이다. 그림 4 참조.

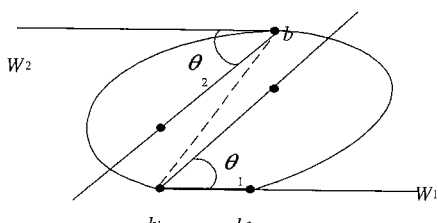


그림 4

우선, $CH(S)$ 의 모든 (b_1, b_2) 에 대해서 b 를 구해야 한다. 이는 $CH(S)$ 가 볼록다각형이므로 쉽게 $O(n)$ 에 가능하다. θ_1, θ_2 를 구하는 것은 (b_1, b_2) 에지 하나당 $O(n)$ 에 가능하다. 따라서 모든 에지들에 대해서 생각해야 하므로 $O(n^2)$ 이면 충분하다.

정리 2: 점 집합 S 를 포함하는 기울기가 180도가 다르면서 겹치지 않는 두 최적 부채꼴을 $O(n^2)$ 시간에 구할 수 있다.

4. 두 부채꼴의 기울기가 180도 차이이고 둘이 겹치는 경우

가장 복잡한 경우로 이 경우를 해결하기 위해서 알고리즘 설계 기법 중 하나인 Parametric Searching (PS) 기법 [1, 4]을 이용한다.

어떤 파라미터 θ 가 있을 때, 만약 $\theta \geq \theta^*$ 인 모든 θ 에 대해서 어떤 조건을 만족하고, $\theta < \theta^*$ 인 θ 에 대해서 그 조건을 만족하지 않을 경우, 그 조건을 단조(monotone) 조건이라 부른다. 즉, θ^* 를 기준으로 그보다 크거나 같은 값에 대해서는 조건이 만족되고, 그보다 작은 값에 대해서는 조건이 만족되지 않는다. PS는 최적화 알고리즘을 만드는 기법으로, 조건이 만족되는 최소값(즉, θ^*)을 찾는 데 이용할 수 있는 기법이다. θ^* 를 찾기 위해서 PS가 쓰는 전략은 최적화 문제를 바로 해결하려 들지 않고, 이 문제의 결정(decision) 문제에 대한 알고리즘을 개발하는 것이다. 즉, 어떤 특정 θ 가 주어질 때, 이 값에 대해서 조건이 만족하는지 아닌지를 결정하는 알고리즘을 먼저 개발한다. 이 말을 다시 하면, 특정 θ 에 대해서 $\theta \geq \theta^*$ 인지 아니면 $\theta < \theta^*$ 인지를 가려내는 알고리즘을 개발한다. 이 경우 결정 문제에 대해서 직렬 알고리즘뿐만 아니라 병렬 알고리즘도 개발한다. 그러면, 이 두 알고리즘을 잘 이용하여 시뮬레이션을 하면, 우리는 최적화 문제에 대해서 알고리즘을 만들 수 있다는 것이 PS의 아이디어이다.

결정 문제에 대한 직렬 알고리즘을 A_s 라 하고, 병렬 알고리즘을 A_p 라 하자. PS에서는 병렬 알고리즘 A_p 를 $\theta = \theta^*$ 로 두고 직렬로 시뮬레이션한다. 그런데, θ^* 는 우리가 모르는 값이므로, 시뮬레이션 중간에 θ 를 이용한 판단(decision)을 해야 할 경우에는 직렬 알고리즘 A_s 를 이용하여 해결한다. 따라서, A_s 가 $O(T_s)$ 시간 걸리고, A_p 가 $O(P)$ 개의 프로세서를 이용하여 $O(T_p)$ 시간 걸리면, 시뮬레이션은 총 $O(PT_p + T_s T_p \log P)$ 시간 걸린다. 즉, 최적화 알고리즘이 걸리는 시간이 이것이다. 좀 더 자세한 사항은 [1]을 참조하기 바란다. A_p 의 구조가 어떤 특성을 만족하면 최적화 알고리즘의 시간을 약간

줄여서 $O(PT_p+T_s(T_p+\log P))$ 가 되게 할 수 있다 [2].

PS를 이용하여 우리 문제를 해결하기 위하여, 결정 문제를 해결하는 효율적인 직렬 알고리즘과 병렬 알고리즘을 설계해야 한다. 그러면, PS에 의해서 최적화 문제를 해결하는 직렬 알고리즘이 만들어진다. 우리 문제의 경우, 결정 문제는 n 개의 평면상의 점으로 이뤄진 집합 S 와 부채꼴의 각 θ 값이 입력으로 들어 올 때, 크기가 θ 인 두 개의 평행한 이산적 부채꼴을 이용하여, S 의 점들을 모두 포함할 수 있는나 없느냐를 정하는 것이다.

4.1 직렬 알고리즘

직렬과 병렬 알고리즘의 아이디어는 두 부채꼴 점들 중에서 한 정점은 S 의 특정 점 p 로 한정하고, 다른 정점은 S 의 어떤 점이 되도 상관없게 아무 제한도 두지 않을 경우, 과연 S 의 점들을 모두 포함하느냐를 결정하는 알고리즘을 먼저 설계한다. 그 다음 이 알고리즘에서 p 를 S 의 모든 점에 대해서 반복하여 결과를 얻으면 된다. 즉, 두 정점이 자유롭게 움직일 수 있는 문제를 한정점은 고정하고 한 정점만 자유롭게 움직이는 문제로 바꾼다.

따라서, 앞으로는 한 부채꼴의 한 정점이 점 p 에 고정되어 있다고 가정한다. 먼저, 점 p 를 중심으로 S 의 점들을 모두 각의 순서대로 소트한다. 점 p 를 정점으로 하는 크기가 θ 인 부채꼴을 W_1 이라 하자. W_1 의 기울기를 0도부터 360도까지 조금씩 증가시키면 S 의 점들이 W_1 에 들어오기도 하고 나가기도 한다. S 의 점이 하나 새로 들어오거나 (W_1 의 왼쪽 경계에 점이 위치하는 경우), 있던 점이 하나 나갈 때를 (W_1 의 오른쪽 경계에 점이 위치하는 경우) 각각 하나의 이벤트로 생각하여 이벤트가 일어날 때마다 필요한 일을 수행한다.

지금 이벤트가 일어났다고 가정하자. 현재의 W_1 에 포함된 S 의 점들의 집합을 R 이라 하자. 이제 S 의 다른 점을 정점으로 하여 크기가 θ 인 부채꼴 W_2 를 배치하여 $\bar{R} = S - R$ 에 속하는 점들을 모두 포함할 수 있는나를 조사한다. W_2 의 정점은 R 중의 한 점이 꼭 되어야 한다. 왜냐하면, W_1 과 W_2 의 기울기가 180도 차로 평행하고 들이 겹치므로, 둘의 정점은 상대방 부채꼴에 포함되어야 한다.

R 의 정점에서 W_2 의 정점이 될 수 있는 점이 있는나를 조사해야 한다. 그러기 위해서, 먼저 \bar{R} 의 블록껍질 $CH(\bar{R})$ 을 구한다. W_1 의 두 경계 반직선을 e_1, e_2 라 하자. e_1 과 평행하면서 $CH(\bar{R})$ 에 접하는 두 접선을 긋는다. 유사하게, e_2 과 평행하면서 $CH(\bar{R})$ 에 접하는 두 접선을 긋는다. 이들 네 접선에 의해서 만들어지는 부채꼴이 여

럿인데, 그 중에서 $CH(\bar{R})$ 을 포함하는 부채꼴이 네 개다. 그 중 둘은 W_1 과 크기가 같고, 나머지 둘은 크기가 $(180-W_1$ 의 크기)이다. 크기가 W_1 과 같은 둘 중에서 기울기가 W_1 과 180도 차인 부채꼴을 V 라 하고, 그것의 정점을 a 라 하자. 만약 a 가 R 의 한 점과 일치하면, $W_2=V$ 가 된다. 그렇지 않으면, V 의 맞꼭지 부채꼴을 V' 라 하자. 만약 V' 가 R 의 점 중에서 하나 (b 라하자)라도 포함하면, V 를 그대로 평행 이동하여 정점이 b 가 되도록 하여, $W_2=V'$ 라 하면 된다. 그림 5 참조.

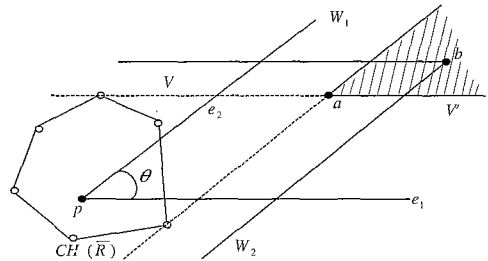


그림 5

결론적으로, V 이 R 의 점 중 하나라도 포함하면 직렬 알고리즘은 “YES”를 리턴하면 된다. 앞으로 V 을 현 이벤트의 후보 부채꼴이라 부르기로 한다.

4.2 직렬 알고리즘의 자세한 구현

기본적으로 $CH(\bar{R})$ 를 매 이벤트마다 갱신하는 작업이 필요하다. 그런데, 두 이벤트 사이의 \bar{R} 는 점 하나 차이다. 즉, 현재의 \bar{R} 에 점이 하나 추가되거나, 하나가 삭제되거나 하여 다음 \bar{R} 이 된다. 따라서 잘 알려진 블록껍질 관리 알고리즘을 이용한다 [5]. 점이 하나 추가되거나 삭제됨에 따라서, 현재의 $CH(\bar{R})$ 에서 다음 $CH(\bar{R})$ 을 $O(\log^2 n)$ 시간에 구할 수 있다. 더 자세히 보면, S 의 모든 점들을 p 를 중심으로 각에 의해서 소트한 후 진행하므로, \bar{R} 에 점이 추가되거나 삭제될 때도 이 순서에 따라서 진행된다. 이런 특수한 경우에는 $CH(\bar{R})$ 을 갱신하는데 amortized $O(\log n)$ 시간 밖에 안 걸리며 [3], 또 이 방법은 기본적인 연산 역시 $O(\log n)$ 에 가능하도록 지원한다. 따라서, V 를 구하려면 $CH(\bar{R})$ 에 네 개의 접선을 그려야 하는데 접선 구하는 것은 한번에 $O(\log n)$ 시간에 가능하다. 따라서, S 의 각 점은 $CH(\bar{R})$ 에 한번 추가되고 한번 삭제되며, 매 이벤트마다 네 개의 접선을 구하면 되므로, 전체 시간은 $O(n \log n)$ 이다.

이제 남은 일은 V 내에 R 의 점이 하나라도 있는가를

조사하는 것이다. 이를 위해 다음과 같은 자료구조를 사용한다. S 에 속하는 모든 점 t 에 대해서 t 를 정점으로 하고 W_1 과 같은 방향이면서 크기가 θ 인 부채꼴 V_t 를 생각한다. S 의 모든 두 점 t, t' 에 대해서 t' 이 V_t 에 포함되면 t 를 버린다. 남은 점들만을 모아서 (p 에 대한) 각도 순으로 나열한 리스트를 A 라 나타내고, 이를 외곽층(maximal layer)라 부른다. 이 외곽층의 기울기는 W_1 의 기울기와 같다. A 의 점들은 균형 이진탐색 트리(balanced binary search tree, 줄여서 BBST)에 저장한다. A 가 있으면, 주어진 임의의 점 α 에 (꼭 S 의 점일 필요 없음)대해서 V_α 가 R 의 점을 포함하는지를 알려면, $\alpha \in W_1$ 이고 V_α 가 A 의 점을 하나라도 포함하는가를 조사하면 된다. 이 조사는 A 가 BBST에 저장되어 있으므로 $O(\log n)$ 시간에 할 수 있다.

소정리 3: $\alpha \in W_1$ 이면, 아래 두 명제 (1)과 (2)는 동치이다.

- (1) V_α 가 R 의 한 점을 포함한다.
- (2) V_α 가 A 의 한 점을 포함한다.

증명: (2)가 (1)을 의미하는 것은 당연하다. (1)이 (2)를 의미하는 것을 증명하기 위해서, V_α 에 포함된 R 의 한 점을 t_1 라 하자. t_1 이 A 에 있으면 증명 끝. t_1 이 A 에 있지 않으면, 그 이유는 V_{t_1} 이 다른 점 t_2 를 포함하기 때문이다. 따라서 V_α 가 t_2 를 포함한다. t_2 가 A 에 있으면 증명 끝. 아니면, V_{t_2} 가 다른 점 t_3 를 포함하기 때문이다. 그러면, V_α 가 t_3 를 포함한다. 이런 식으로 계속 반복하면 언젠가는 A 에 있는 점 t_k 를 발견하게 된다. \square

현재의 외곽층 A 와 후보 부채꼴 V 가 주어지면, 먼저 V 의 정점이 W_1 에 포함되는가를 조사하고, 맞으면 V 가 A 의 점을 하나라도 포함하는가를 조사한다 이는 $O(\log n)$ 시간에 가능하다. 그러나, 외곽층을 계산하는데 시간이 많이 소요되므로, 우리가 원하는 시간 안에 일을 마치기가 힘들다.

이를 극복하기 위하여, 다른 방법을 택하는데, 먼저 모든 후보 부채꼴들만 미리 계산한다. 지금까지 설명한 것 중에서, 외곽층 계산과 V 가 R 의 점을 포함하는가를 따지는 것은 전혀 하지 않고, 후보 부채꼴을 만드는 부분만을 수행한다. 후보 부채꼴 V 에 대해서 그 정점이 현재 W_1 에 포함되는가를 조사하여, 맞으면 집합 CW 에 넣는다. 한 점 p 에 대해서 최대 $n-1$ 개의 후보 부채꼴이 생긴다. 이를 모든 p 에 대해서 반복하여, 총 $O(n^2)$ 개의 후보 부채꼴을 만든다. CW 를 모두 구하는 시간은 $O(n^2 \log n)$ 이다.

S 의 모든 점의 쌍 p_1, p_2 에 대해서 두 개의 반직선을 생각한다. 하나는 p_1 에서 시작하여 p_2 를 지나고, 다른

하나는 p_2 에서 시작하여 p_1 을 지난다. 반직선의 기울기는 시작점을 원점 $(0,0)$ 에 일치한 후, 양의 x -축에서 반시계 방향으로 그 반직선에 이르는 각이다. 총 $O(n^2)$ 개의 각이 생긴다. 이들 각각에 θ 를 더하면 또 $O(n^2)$ 개의 각이 생긴다. 지금까지 생긴 모든 각들을 소트하여 $\alpha_1, \alpha_2, \dots$ 라 하자.

먼저, 기울기가 α_1 인 외곽층을 계산하여 A_1 이라 하고 이를 BBST에 저장한다. 이는 $O(n \log n)$ 에 가능하다 [6]. CW 의 후보 부채꼴들 중에서 기울기가 α_1 이상이고 α_2 미만인 것들의 집합을 CW_1 이라 한다. CW_1 의 각 후보 부채꼴 V 이 A_1 의 점을 하나라도 포함하는가를 조사한다. 하나라도 "YES"가 나오면 알고리즘은 바로 종료한다.

소정리 4: CW_1 의 한 부채꼴 V' 의 기울기를 α 라 하자. 그러면, 기울기가 α 인 외곽층과 A_1 은 동일하다.

증명: 기울기가 α 인 외곽층을 A 라 하자. 만약 A_1 의 한 점 s 가 A 에는 없다고 하면, s 를 A 에 못나오게 하는 점 t 가 A 에 있어야 한다. (즉, V_s 가 t 를 포함한다.) 그러면 s 에서 t 로 가는 반직선의 기울기는 α_1 과 α_2 사이가 된다. 이는 모순이다. 다른 경우도 비슷하게 증명할 수 있다. \square

다음에는 기울기가 α_2 인 외곽층 A_2 를 만들어야 한다. 여기서 기울기가 α_2 인 반직선을 u 에서 v 로 가는 것이라 하면, A_1 과 A_2 의 관계는 $A_2 = A_1$ 이거나 u, v 중 하나가 A_1 에 추가되거나 삭제되거나 하는 것이다. 즉, A_1 에 A_2 는 기껏 한 점 차이다. A_1 이 BBST에 저장되어 있어서 A_1 에 추가나 삭제가 $O(\log n)$ 시간에 가능하므로 A_1 에서 $O(\log n)$ 시간에 A_2 로 변환할 수 있다. 이제는 CW 의 부채꼴 중에서 기울기가 α_2 이상이고 α_3 미만인 것들의 집합을 CW_2 이라 한다. 이런 식으로 $\alpha_3, \alpha_4, \dots$ 로 하면서 CW 의 모든 후보 부채꼴들에 대해서 그것이 외곽층의 한 점을 포함하는가를 조사 할 수 있다. 걸리는 시간은 $O(n^2 \log n)$ 이다.

소정리 5: 점 집합 S 와 각 θ 가 주어질 때, 기울기 차이가 180도이고 서로 겹치는 크기 θ 인 두 부채꼴로 S 를 모두 포함할 수 있는가는 직렬로 $O(n^2 \log n)$ 시간에 판단할 수 있다.

4.3 병렬 알고리즘

앞절의 직렬 알고리즘을 병렬화 하려고 한다. 대부분의 스텝은 병렬화가 잘 되지만, 가장 어려운 부분이 후보 부채꼴들을 구하는 일과 후보 부채꼴들이 R 의 점을 포함하는가를 조사하는 일이다. 둘다 아래처럼 세그먼트 트리를 이용한다.

먼저, $S - \{p\}$ 의 점들을 p 를 기준으로 각으로 소트한 리스트를 p_1, p_2, \dots, p_{n-1} 라 하자. 리프노드가 $n-1$ 개인 완

전 이진트리 형태의 세그먼트 트리 T 를 만들고 리프노드들을 차례대로 p_1, p_2, \dots, p_{n-1} 과 일대일 대응시킨다. T 의 내부노드 v 는 v 를 루트로 하는 서브트리의 리프노드에 딸린 점들로 이루어진 CS(canonical subsequence)에 대응한다. 세그먼트 트리의 성질상, 어떤 $i \leq j$ 에 대해서도 시퀀스 $(p_i, p_{i+1}, \dots, p_j)$ 는 $O(\log n)$ 개의 CS들로 나누어진다. T 의 각 노드는 그 CS의 점들의 블록겹질을 기억하고, 이를 CCH (canonical CH)라 부른다. T 의 루트의 CCH는 $CH(S)$ 이다. T 를 만드는 일은 θ 와 무관하므로, 병렬로 굳이 할 필요는 없지만, 병렬로는 $O(\log^2 n)$ 시간과 $O(n)$ 프로세서 사용하며, 직렬로는 $O(n \log^2 n)$ 시간에 가능하다.

T 를 이용하여 후보 부채꼴을 구한다. 이를 위해서는 $CH(\bar{R})$ 에 접하는 네 점선을 구해야 한다. 그런데, 어떤 i, j 에 대해서, $\bar{R} = \{p_i, p_{i+1}, \dots, p_j\}$ 이다. 한 직선이 주어질 때, 이 직선에 평행한 $CH(p_i, p_{i+1}, \dots, p_j)$ 의 두 점선은 이의 $O(\log n)$ 개의 CCH들 각각에 대해서 두 점선을 구한 다음, 이 점선들 중에서 가장 바깥쪽의 두개를 택하면 된다. 시간은 하나의 프로세서를 가지고 $O(\log^2 n)$ 시간이면 된다.

따라서, 하나의 후보 부채꼴 V 은 하나의 프로세서를 이용하여 $O(\log^2 n)$ 시간에 구한다.

역시 T 를 이용하여 후보 부채꼴이 R 의 점을 포함하는 가를 병렬로 진행한다. 후보 부채꼴을 정점이 α 인 V_α 라 하자. p 에서 시작하여 α 를 지나는 반직선이 어떤 i 에 대해서 두 점 p_{i-1} 과 p_i 사이를 지나고, 반대방향의 반직선이 어떤 j 에 대해서 두 점 p_{i-1} 과 p_j 사이를 지난다고 가정하자. 이 두 개의 반직선에 의해서 S 가 두 집합으로 나뉜다. V_α 의 오른쪽 경계 반직선을 e_1 , 왼쪽 경계 반직선을 e_2 라 한다. $\{p_i, p_{i+1}, \dots, p_{j-1}\}$ 의 점들 중에서 V_α 에 포함되는 것이 있는가를 알기 위해서, $\{p_i, p_{i+1}, \dots, p_{j-1}\}$ 의 $O(\log n)$ 개의 CCH를 하나씩 생각하면서, e_2 가 CCH를 교차하는가를 조사한다. 하나의 CCH가 e_2 를 교차하면 그 CCH에 있는 점 중 적어도 하나가 V_α 에 속한다는 말이 된다. 모든 CCH들이 e_2 를 교차하지 않으면 $\{p_i, p_{i+1}, \dots, p_{j-1}\}$ 점 중에서 어느 점도 V_α 에 포함되지 않는다는 말이 된다. 비슷하게, $\{p_i, p_{i+1}, \dots, p_{i-1}\}$ 의 점 중에서 V_α 에 속하는 것이 있는가도 조사할 수 있다. 따라서 V_α 에 S 의 점 중 하나라도 속하는지는 하나의 프로세서를 사용하여 $O(\log^2 n)$ 시간에 할 수 있다. 전체적으로 $O(n^2)$ 개의 후보 부채꼴이 있으므로, 다음은 증명되었다.

소정리 6: 점 집합 S 와 각 θ 가 주어질 때, 기울기 차이가 180도이고 서로 접치는 크기 θ 인 두 부채꼴로 S 를 모두 포함할 수 있는가는 병렬로 $O(\log^2 n)$ 시간과

$O(n^2)$ 개의 프로세서로 판단할 수 있다.

정리 3: 점 집합 S 를 포함하는 기울기 차이가 180도이고 서로 접치는 가장 작은 두 부채꼴을 $O(n^2 \log^3 n)$ 시간에 구할 수 있다.

증명: PS에 의해서 $O(n^2 \log^4 n)$ 시간 알고리즘은 쉽게 나오고, Cole기법을 [2] 적용하기 위해서 병렬 알고리즘을 살펴보면, 먼저 세그먼트 트리 T 를 만드는 것은 θ 와 무관하므로, 병렬로 할 필요가 없다. 블록겹질에 점선을 구하는 일과 블록겹질과 직선의 교차여부를 조사하는 일은 둘 다 이진탐색의 변형이므로 Cole의 기법에 맞다. 따라서, log항을 하나 줄여서 원하는 시간을 얻을 수 있다. \square

5. 두 부채꼴의 기울기가 마음대로이면서 둘이 겹치지 않는 경우

소정리 7: α_1, α_2 중 적어도 하나는 $CH(S)$ 의 꼭지점이다.

증명: W_1, W_2 의 맞꼭지 부채꼴을 W_1', W_2' 이라 하자.

(1) $W_1' \cap W_2' = \emptyset$ 이면, $W_1 \cup W_1'$ 을 제외하면 평면이 두 영역으로 나뉘는데 W_2 는 이 두 영역중 한 부분에만 있을 수 있다. 따라서, 당연히 α_1 은 $CH(S)$ 의 꼭지점이다. $W_2' \cap W_1 = \emptyset$

(2) $W_2' \cap W_1 = \emptyset$ 인 경우도 위와 비슷하게 증명 가능하다.

(3) $W_1' \cap W_2' \neq \emptyset, W_2' \cap W_1 \neq \emptyset$ 인 경우.

W_1 의 두 반직선을 확장하여 직선으로 만들면 이 두 직선에 의해서 평면이 네 개의 부채꼴로 나뉜다. 이들을 W_1 에서 시작하여 반시계 방향으로 W_1, W, W_1', W' 라 부르자. $W_1' \cap S = \emptyset$ 이면 α_1 은 바로 $CH(S)$ 의 꼭지점이다. 비슷하게 $W_2' \cap S = \emptyset$ 이면 α_2 가 $CH(S)$ 의 꼭지점이다. 따라서, $W_1' \cap S, W_2' \cap S$ 둘 다 공집합이 아닌 경우만 증명하면 된다. 이 부분의 증명은 3절의 소정리 2와 동일하다. 단지, W_1 과 W_2 가 평행하나 아니냐의 차이가 있을 뿐이다. \square

W_1 의 정점이 $CH(S)$ 의 한 꼭지점 p 에 있다고 가정하고 S 의 점들을 반시계방향으로 각도로 소트하여 p_1, p_2, \dots, p_{n-1} 이라 한다. W_1 의 오른쪽 경계가 p 에 붙어 있는 예지와 일치한다고 가정해도 무방하다. W_1 의 왼쪽 경계가 p_i 를 지난다고 할 때, W_1 은 p_1, p_2, \dots, p_i 를 포함하고, W_2 는 나머지 점들 $S_i = \{p_{i+1}, \dots, p_{n-1}\}$ 모두를 포함해야 한다. 물론, W_2 의 정점은 $CH(S_i)$ 의 꼭지점에 놓이게 되고, W_2 의 두 경계는 정점에 인접한 $CH(S_i)$ 의 두 예지에 의해서 결정된다. 물론, W_2 가 W_1 을 겹치면 안되므로

W_2 의 정점이 될 수 있는 $CH(S_i)$ 의 꼭지점들이 한정된다. p 를 지나면서 $CH(S_i)$ 에 접하는 두 접선 중에서 $CH(S_i)$ 와 W_1 사이를 지나는 접선의 접점을 a_i 라 한다. 정의는 이렇게 했지만 실상은 $a_i = p_{i+1}$ 이다. W_1 의 왼쪽 경계와 평행하면서 $CH(S_i)$ 에 접하는 두 접선 중에서 $CH(S_i)$ 와 W_1 사이를 지나는 접선의 접점을 b_i 라 한다. 그러면, $CH(S_i)$ 의 꼭지점들 중에서 b_i 부터 p_{i+1} 까지 반시계 방향으로 도는 체인 C_i 에 있는 것들만 W_2 의 정점이 될 수 있다. 이들 중에서 내각이 가장 작은 꼭지점에 W_2 를 배치하면 된다. 그림 6을 참조하시오.

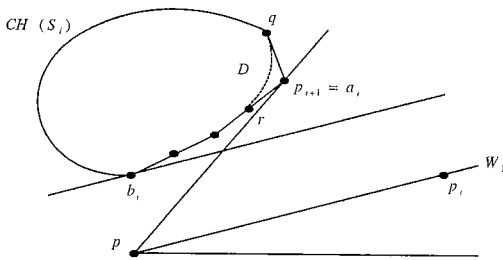


그림 6

소정리 8: $\sum_{i=1}^n |C_i| = O(n)$ 이다.

증명: 현재 i 에 대해서 p_{i+1} 와 b_i 를 알고 있다고 하자. $CH(S_i)$ 에서 p_{i+1} 에 이웃한 두 꼭지점 중 p_{i+1} 에서 반시계방향으로 갈 때 만나는 것을 q 라 하고, 나머지를 r 이라 하자. 그러면, p_{i+1} 이 $CH(S_i)$ 에서 빠지고 대신 $CH(S_{i+1})$ 에는 r 에서 반시계방향으로 q 에는 이르는 체인에 ($CH(S_i)$ 에는 없는) 새로운 꼭지점들이 생긴다. 이 꼭지점들의 집합을 D 라 하자. 그러면, p_{i+2} 와 b_{i+1} 가 될 수 있는 점들은 $D \cup \{r\}$ 이다. $CH(S_i)$ 가 볼록다각형이므로 q, r 이외의 다른 $CH(S_i)$ 의 꼭지점들은 p_{i+2} 가 될 수 없다. p_{i+2} 는 p 를 지나는 직선이 $CH(S_{i+1})$ 에 접하는 접점이다. b_i 와 r 사이의 $CH(S_i)$ 의 꼭지점들 역시 b_{i+1} 이 될 수 없다. 만약 되면, $CH(S_i)$ 의 볼록 성질에 위배된다. b_{i+1} 은 p 와 p_{i+1} 을 잇는 직선과 평행한 직선이 $CH(S_{i+1})$ 에 접하는 접점이다. 따라서 $C_i \cap C_{i+1}$ 에 있을 수 있는 점은 r 뿐이다. 모든 $1 \leq i \leq n-1$ 에 대해서 $C_i \subset S_i$ 이므로 $\sum |C_i| < 2(n-1)$ 이다. □

$CH(S_i)$ 에서 $CH(S_{i+1})$ 를 구하는 것은 점 p_{i+1} 을 삭제하는 것이다. 삭제하는 순서가 각도 순서대로 진행되므로, [3]의 볼록껍질 관리 알고리즘을 이용하면 한번 $O(\log n)$ 시간에 가능하고, 전체로는 $O(n \log n)$ 시간에 가능하다. b_{i+1} 을 구하려면 b_i 에서 반시계방향으로 CH

(S_{i+1})을 따라 가면서 하면 되므로, 모든 b_i 를 구하는 것은 $O(n)$ 시간에 가능하다. 매 i 마다 C_i 에 있는 꼭지점 중에서 최소 내각을 이루는 것을 찾아야 한다. 앞의 소정리에 의해서 C_i 의 크기를 모든 i 에 대해 더하더라도 $O(n)$ 에 불과하므로 최소 내각을 구하는 것은 $O(n)$ 에 가능하다.

따라서, W_1 의 정점을 $CH(S)$ 의 특정 꼭지점 p 에 두는 경우 S 를 모두 포함하는 두 최적 부채꼴을 $O(n \log n)$ 시간에 구할 수 있다. 이를 모든 p 에 대해서 수행해야 하므로 다음을 얻을 수 있다.

정리 4: 점 집합 S 를 포함하는 서로 겹치지 않는 두 최적 부채꼴을 $O(n^2 \log n)$ 시간에 구할 수 있다.

6. 두 부채꼴의 기울기가 마음대로이고 두 정점 모두 상대방 부채꼴 밖에 있으면서 둘이 겹치는 경우

이 경우에는 소정리 1과 유사한 소정리를 증명할 수 있다.

소정리 9: 선분 (a_1, a_2) 는 $CH(S)$ 의 한 에지가 된다.

증명: a_1 과 a_2 를 잇는 직선에 의해서 평면이 두 개의 반평면으로 나뉜다. 둘 중에서 W_1 이 없는 쪽 반평면을 H 라 한다. 그러면 $H \cap S$ 는 공집합이어야 한다. 그렇지 않으면 이 점들은 W_2 에 포함되어야 하는데, 이러면 두 정점이 상대방 부채꼴 밖에 있고 두 부채꼴은 겹친다는 가정을 위반하게 된다. $H \cap S$ 가 공집합이므로 a_1 은 $CH(S)$ 의 꼭지점이어야 한다. 비슷하게, a_2 도 $CH(S)$ 의 꼭지점이다. 또, $H \cap S$ 가 공집합이므로 (a_1, a_2) 는 $CH(S)$ 의 에지가 된다. □

이제는 $CH(S)$ 의 한 에지 (a, b) 에 대해서 a 와 b 에 정점을 둔 두 부채꼴로 S 의 모든 점을 포함하는 문제를 풀고, 이를 모든 에지에 적용하면 된다. 그런데, 이 문제는 폭이 같은 수직 띠와 수평 띠를 이용하여 S 의 점들을 포함하는 문제와 동일하다. 수직 띠는 두 수직선 사이의 영역인데 이것은 정점을 y -좌표가 ∞ 인 점에 두는 부채꼴로 생각할 수 있다. 이 경우의 부채꼴의 각은 수직 띠의 폭과 같은 개념이 된다. 비슷하게 수평 띠는 두 수평선 사이의 영역으로서 정점을 x -좌표가 ∞ 인 점에 둔 부채꼴과 같다. S 의 점들을 a 를 중심으로 해서 각과 b 를 중심으로 해서 각으로 나타낸다. S 의 각점에 대해서 두각이 생기는데 하나는 x -좌표로 다른 하나는 y -좌표로 한다. 그러면 두 부채꼴을 구하는 것과 두 띠를 찾는 것은 동일한 문제가 된다.

S 의 모든 점을 x -좌표에 의해 소트하여 p_1, p_2, \dots ,

p_n 이라 하고, 이점을 리프노드로 갖는 세그먼트 트리를 만든다. 각 내부노드는 자신을 루트로 하는 서브 트리의 리프노드에 딸린 점들의 y -좌표들 중에서 최소와 최대를 계산하여 가지고 있다. 이 세그먼트 트리는 다음과 같이 이용한다. 만약, $\{p_i, p_{i+1}, \dots, p_j\}$ 을 수직 띠로 포함하고 있다면, $S - \{p_i, p_{i+1}, \dots, p_j\}$ 를 포함하는 수평 띠의 폭 (높이)은 세그먼트 트리를 이용하여 $O(\log n)$ 시간에 계산할 수 있다.

행렬 $A(i, j)$ 를 $\{p_i, p_{i+1}, \dots, p_j\}$ 를 포함하는 수직 띠의 폭이라 하고, $B(i, j)$ 를 나머지 점들을 포함하는 수평 띠의 폭이라 하자. 행렬 $M(i, j) = \max\{A(i, j), B(i, j)\}$, $i \leq j$ 으로 정의하면, 우리가 찾고자 하는 것은 이 행렬의 최소값이다. 행렬의 최소값을 찾기 위해 각 열의 최소값의 위치를 살펴보면, 열 최소(row minima)들은 행렬의 왼쪽 위에서 오른쪽 아래로 내려가는 계단모양으로 나타남을 쉽게 알 수 있다. 또한, 고정된 i 에 대해서 $M(i, j)$ 값은 j 가 증가함에 따라서 감소하다가 증가하는 bitonic 성질을 가지고 있어 i 번째 열의 최소를 쉽게 찾을 수 있다. 이 행렬에서 오른쪽으로 한 칸 이동하거나 아래로 한 칸 이동할 때마다 $A(i, j)$ 와 $B(i, j)$ 를 수정하는 일은 세그먼트 트리를 이용하여 항상 $O(\log n)$ 시간에 가능하다. 그러므로 행렬 전체의 최소값을 찾는 것은 길이가 $O(n)$ 계단을 쭉 따라 내려가면 되므로 $O(n \log n)$ 시간에 가능하다.

이 일을 $CH(S)$ 의 모든 에지들에 대해서 해야하므로, 전체 시간은 $O(n^2 \log n)$ 이다.

정리 5: 점 집합 S 를 포함하는 정점이 상대방 부채꼴 밖에 있고 서로 겹치는 두 최적 부채꼴을 $O(n^2 \log n)$ 시간에 구할 수 있다.

7. 두 부채꼴의 기울기가 마음대로이면서 한 정점만 상대방 부채꼴 안에 있는 경우

소정리 10: 상대방 부채꼴에 들어가지 않는 정점은 $CH(S)$ 의 꼭지점이 되어야 한다.

증명: 그림 7처럼 $a_2 \in W_1$ 이고 $a_2 \notin W_1$ 인 경우를 살펴보자. 만약 a_1 이 $CH(S)$ 의 내부점이면 a_1 을 포함하는 $CH(S)$ 경계상의 세 점으로 구성된 삼각형 Δbcd 가 있어야 한다. 세 점 b, c, d 는 $W_1 \cup W_2$ 에 속해야 하는데, 그림에서 보듯이 어떻게 b, c, d 를 놓더라도 a_1 을 포함할 수 없다. 따라서 a_1 은 $CH(S)$ 의 꼭지점이다. □

또한, W_1 의 한쪽 반직선(그림의 경우 오른쪽 반직선)은 a_1 이 붙어있는 $CH(S)$ 의 에지와 일치해야 한다는 것도 알 수 있다. $CH(S)$ 의 한 꼭지점 p 에 W_1 의 정점이 온다고 가정하자. p 에 대해 S 의 점들을 W_1 의 오른쪽 반직

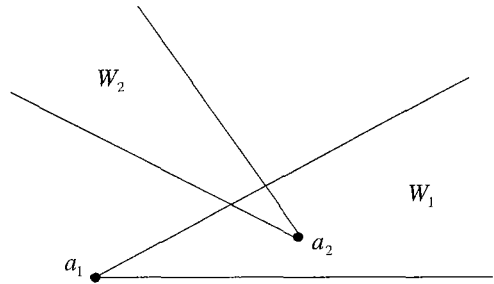


그림 7

선을 기준으로 각으로 소트하여 p_1, p_2, \dots, p_{n-1} 라 하고, 해당되는 각을 $\alpha_1, \alpha_2, \dots, \alpha_{n-1}$ 이라 하자. ($\alpha_1 \leq \alpha_2 \leq \dots \leq \alpha_{n-1}$) 만약, W_1 의 왼쪽 반직선이 p_i 에 의해 결정되면, W_2 의 정점은 $\{p_1, p_2, \dots, p_i\}$ 중 하나이고 그것의 경계는 $CH\{p_{i+1}, \dots, p_{n-1}\}$ 에 대한 두 접선으로 구성된다. $\{p_1, p_2, \dots, p_i\}$ 내의 각 점에서 $CH\{p_{i+1}, \dots, p_{n-1}\}$ 에 두 접선을 그어 생긴 각들 중에서 최소값을 β_i 라 하자. 그러면 $\beta_1 \geq \beta_2 \geq \dots \geq \beta_{n-1}$ 이다.

이제 배열 $A(i) = \max\{\alpha_i, \beta_i\}$, $1 \leq i \leq n-1$ 에서 최소를 찾으면 된다. α_i 들은 증가하고 β_i 들은 감소하므로 $A(i)$ 는 감소 후 증가하는 bitonic 시퀀스이다. 따라서 이진탐색으로 최소값을 찾을 수 있다. 그런데, 특정 i 에 대해서 β_i 를 계산하는 시간이 $O(n \log n)$ 이므로, 최소 $A(i)$ 는 $O(n \log^2 n)$ 시간에 찾을 수 있다. 이를 $CH(S)$ 의 모든 꼭지점에 대해서 수행해야 하므로 $O(n^2 \log^2 n)$ 시간이 걸린다.

정리 6: 점 집합 S 를 포함하면서 한 정점만 상대방 부채꼴 안에 있는 두 최적 부채꼴을 $O(n^2 \log^2 n)$ 시간에 구할 수 있다.

8. 두 부채꼴의 기울기가 마음대로이면서 두 정점 모두 상대방 부채꼴 안에 있는 경우

4절과 비슷하게 진행된다. 먼저 결정 알고리즘을 생각할때 주어진 부채꼴 크기를 θ 라 한다. S 의 한 점 p 에 크기가 θ 인 부채꼴을 하나 놓는다고 가정할 때, S 의 다른 점들 중에서 한 점을 골라, 점 p 와 그 점에 두 개의 부채꼴을 배치하여 S 전체를 포함하는 것이 가능한가를 먼저 조사한다. 그리고 이 작업을 모든 p 에 대해서 반복한다.

따라서, 앞으로는 한 부채꼴의 한 정점이 점 p 에 고정되어 있다고 가정한다. 먼저, 점 p 를 중심으로 S 의 점들을 모두 각의 순서대로 소트한다. 점 p 를 정점으로 하는 크기가 θ 인 부채꼴을 W_1 이라 하자. W_1 의 기울기

를 0도부터 360도까지 조금씩 증가시키면 S 의 점들이 W_1 에 들어오기도 하고 나가기도 한다. S 의 점이 하나 새로 들어오거나 (W_1 의 왼쪽 경계에 점이 위치하는 경우), 있던 점이 하나 나갈 때를 (W_1 의 오른쪽 경계에 점이 위치하는 경우) 각각 하나의 이벤트로 생각하여 이벤트가 일어날 때마다 필요한 일을 수행한다.

지금 이벤트가 일어났다고 가정하자. 현재의 W_1 에 포함된 S 의 점들의 집합을 R 이라 하자. 이제 S 의 다른 점을 정점으로 하여 크기가 θ 인 부채꼴 W_2 를 배치하여 $\bar{R} = S - R$ 에 속하는 점들을 모두 포함할 수 있는가를 조사한다. W_2 의 정점은 R 중의 한 점이 꼭 되어야 하고, W_2 는 p 를 포함하여야 한다. R 의 각 점에서 $CH(\bar{R})$ 에 두 개의 접선을 그려서 생긴 부채꼴이 p 를 포함하고 각이 θ 이하인 것이 있는가를 조사하는 것과 같다.

이를 위해서는 $CH(\bar{R})$ 를 계산하는 작업이 필요한데, 두 이벤트 사이의 \bar{R} 은 점 하나 차이이다. 따라서 이것은 블록접질 관리 알고리즘을 이용한다[5]. 추가나 삭제 하나당 $O(\log^2 n)$ 시간이 걸리므로, $CH(\bar{R})$ 을 W_1 이 360도 회전하는 동안 관리하는 데는 $O(n \log^2 n)$ 시간이면 충분하다.

R 의 각 점에서 $CH(\bar{R})$ 에 접선을 두 개씩 긋는데, 매 이벤트마다 R 의 모든 점에서 접선을 긋는 일을 하면, 매 이벤트마다 $O(n \log n)$ 의 일을 해야 하고 전체로는 $O(n^2 \log n)$ 일을 해야 한다. \log 항을 하나 줄이기 위해서, 직선 이벤트에서 구한 접선을 기억한다. 즉, R' 을 직선 이벤트에서의 R 이라 하고, R 을 현재 것이라 하자. 그리고, R' 의 한 점 r 에서 $CH(\bar{R}')$ 에 이르는 두 접선의 접점 r_1, r_2 를 알고 있다고 가정하자. 그러면, r 에서 $CH(\bar{R})$ 에 접하는 두 접점 r_3, r_4 는 어떻게 구하는지를 알아보자. 먼저, $CH(\bar{R}) = CH(\bar{R}')$ 이면 할 일이 없으므로 둘이 다르다고 가정하자.

점이 하나 추가된 경우 (즉, $\bar{R} = \bar{R}' \cup \{q\}$), q 는 반드시 $CH(\bar{R})$ 의 꼭지점이다. 이유는 q 는 $CH(\bar{R}')$ 외부에 존재하기 때문이다. 따라서, $r_3 = r_1$ 이고 $r_4 \in \{r_2, q\}$ 가 된다. 즉, 두 접점이 모두 변하지는 않으며, 하나가 변할 경우에는 후보는 q 가 된다. r 과 q 를 지나는 직선이 $CH(\bar{R})$ 에 접하면 $r_4 = q$ 이고, 아니면 $r_4 = r_2$ 가 된다. W_1 이 한번 회전하는 동안, 최대 n 번의 점 추가가 생기므로, r 하나에 대해서 하는 일은 $O(n)$ 이고, 모든 r 에 대해서 고려하면 $O(n^2)$ 이다.

점이 하나 삭제가 된 경우, (즉, $\bar{R} = \bar{R}' - \{q\}$), q 가

사라진 $CH(\bar{R})$ 에는 여러개의 꼭지점이 새로 생기고 따라서 새로운 내각이 여러 개 생긴다. 주의: q 는 반드시 $CH(\bar{R}')$ 의 꼭지점이다. 즉, q_1, q_2 를 $CH(\bar{R}')$ 에서 q 가 이웃한 두 꼭지점이라 하면, q_1, q_2 는 여전히 $CH(\bar{R})$ 에서도 꼭지점이 된다. 따라서 $CH(\bar{R})$ 의 꼭지점 중에서 q_1 과 q_2 사이에 있는 꼭지점들은 새로 생긴 것들이다. 따라서, $r_3 = r_1$ 이고, $r_4 \in \{r_2, q_1$ 부터 q_2 까지의 $CH(\bar{R})$ 의 꼭지점들)이다. q_1 부터 q_2 까지의 $CH(\bar{R})$ 의 꼭지점들을 하나씩 보면서 그것과 r 을 잇는 직선이 $CH(\bar{R})$ 에 접하는가를 조사하여 접하면 그 점이 r_4 가 되고, 모든 점에서 접하지 않으면 $r_4 = r_2$ 가 된다. 따라서 q_1 과 q_2 사이에 새로 생기는 꼭지점의 수가 중요한데, 이들은 한번 생기면 삭제될 때까지 그대로 블록접질에 남아 있다. 따라서, 이들의 수를 W_1 이 한번 회전하는 동안의 최대 n 번의 삭제들에 대해서 전부 합하면 r 하나에 대해서 역시 $O(n)$ 이고, 모든 r 에 대해서 하면 $O(n^2)$ 이다.

따라서, 한 부채꼴의 정점을 p 에 고정된 경우, 두 부채꼴로 모든 점들을 포함할 수 있는가를 조사하는데 걸리는 시간은 $O(n^2)$ 시간이다. 이를 모든 p 에 대해서 반복해야 하니까, 주어진 θ 에 대해서 결정 알고리즘의 시간은 $O(n^3)$ 이 된다.

그런데, θ 가 될 수 있는 후보의 개수가 모두 $O(n^3)$ 이므로 (p 하나마다 $O(n^2)$ 개의 후보가 있음), 이들 후보들을 모두 계산한 후 소트하여 리스트를 만든 후, 방금 만든 결정 알고리즘을 이용하여 이전 탐색을 하여 최적값 θ' 를 찾는다.

정리 7: 점 집합 S 를 포함하면서 두 정점 모두 상대방 부채꼴 안에 있는 두 최적 부채꼴을 $O(n^3 \log n)$ 시간에 구할 수 있다.

참고 문헌

- [1] P.K. Agarwal and M. Sharir, Efficient algorithms for geometric optimization, ACM Computing Surveys, vol. 30, pp. 412-458, 1998.
- [2] R. Cole, Slowing down sorting networks to obtain faster sorting algorithms, Journal of ACM, 34, pp. 200-208, 1987.
- [3] J. Friedman, J. Hershberger, and J. Snoeyink, Efficiently planning compliant motion in the plane, SIAM Journal on Computing, vol. 25, no. 3, pp. 562-599, 1996.
- [4] N. Megiddo, Applying parallel computation algorithms in the design of serial algorithms, Journal of ACM, vol. 30, pp. 852-865, 1983.
- [5] M.H. Overmars and J. van Leeuwen, Maintenance

of configurations in the plane, *Journal of Computer and System Science*, vol. 23, pp. 166-204, 1981.

- [6] F.P. Preparata and M.I. Shamos, *Computational Geometry: an Introduction*, Springer-Verlag, New York, 1985.
- [7] P.K. Agarwal, M. Sharir and E. Welzl, The discrete 2-center problem, *Proceedings of 13th Annual Symposium on Computational Geometry*, pp. 147--155, 1997.
- [8] D. Eppstein, Faster construction of planar two-centers, *Proceedings of 8th ACM-SIAM Symposium on Discrete Algorithms*, pp. 131--138, 1997.
- [9] J.W. Jaromczyk and M. Kowaluk, Orientation independent covering of points in R^2 with pairs of rectangles, *Lecture Notes in Computer Science*, vol. 871, pp. 71-78, 1996.
- [10] M.J. Katz, K. Kedem, and M. Segal, Discrete rectilinear 2-center problems, *Computational Geometry*, vol. 15, pp. 203--214, 2000.
- [11] M. Sharir, A near-linear algorithm for the planar 2-center problem, *Proceedings of 12th Annual ACM Symposium on Computational Geometry*, pp. 106--112, 1996.



여 상 수

1997년 2월 중앙대학교 컴퓨터공학과 학사. 1999년 2월 중앙대학교 컴퓨터공학과 석사. 2000년 3월 ~ 현재 중앙대학교 대학원 컴퓨터공학과 박사과정. 관심분야는 컴퓨터이론, 암호 응용 및 정보보호, 생물정보학



김 성 권

1981년 2월 서울대학교 계산통계학과 학사. 1983년 2월 한국과학기술원 전산학과 석사. 1990년 8월 University of Washington 전산학 박사. 1991년 3월 ~ 1996년 2월 경성대학교 전산통계학과 조교수. 1996년 3월 ~ 현재 중앙대학교 컴퓨터공학과 부교수. 관심분야는 계산기하학, 암호 응용 및 정보보호, 생물정보학



김 순 석

1997년 2월 진주대학교 컴퓨터공학과 학사. 1999년 2월 중앙대학교 컴퓨터공학과 석사. 1999년 3월 ~ 현재 중앙대학교 대학원 컴퓨터 공학과 박사과정. 관심분야는 암호 프로토콜, 이동통신 보안, 정보보호

신 찬 수

정보과학회논문지 : 시스템 및 이론
제 28 권 제 2 호 참조